



پادداشت تحقیقاتی:

تأثیر درصد خاک رس و انرژی تراکم بر آبشنستگی پایه پل

در بستر رسوبی و در حضور تکیه گاه

سید محمد علی زمردیان^{*}، مرتضی عرب^۲، مسیح ذوالقدر^۳

۱- دانشیار گروه سازه‌های آبی، دانشکده کشاورزی، دانشگاه شیراز

۲- دانش آموخته کارشناسی ارشد سازه‌های آبی، دانشکده کشاورزی، دانشگاه شیراز

۳- استادیار گروه مهندسی آب، دانشگاه جهرم

mzomorod@shirazu.ac.ir*

تاریخ پذیرش: [۹۵/۰۳/۱۹]

تاریخ دریافت: [۹۵/۰۱/۱۵]

چکیده- مهمترین دلیل نگرانی، در خصوص پایداری پل‌ها، وقوع آبشنستگی موضعی در اطراف آن هاست. مساله آبشنستگی موضعی در اطراف پایه و تکیه گاه پل در سال‌های اخیر به طور گستردگی به وسیله پژوهشگران مختلف بررسی شده است که نتیجه آن ارائه روش‌های مختلفی برای کنترل و کاهش آبشنستگی بوده است. یکی از این روش‌ها تراکم خاک بستر است. تراکم بستر رسوبی اطراف فونداسیون پل، مقاومت آن را در مقابل آبشنستگی افزایش داد، موجب کاهش آبشنستگی و به تأخیر افتادن پیشرفت آن می‌شود. در این پژوهش به منظور کاهش آبشنستگی در اطراف پایه و تکیه گاه پل ۵٪، ۱۰٪ و ۱۵٪ رس به بستر غیر چسبنده اضافه و سپس متراکم شد. با توجه به نتایج آزمایش‌ها مشاهده شد هنگامی که ۱۵٪ رس به رسوبات غیر چسبنده اضافه شود، در شرایط اشباع بستر و تراکم ۷۰٪ بعد از گذشت ۲۴ ساعت از شروع آزمایش، آبشنستگی پیرامون پایه به طور کامل حذف می‌شود.

واژگان کلیدی: آبشنستگی، پایه پل، تراکم، کاهش آبشنستگی.

به پایین حرکت کرده و به بالا می‌چرخد و با برخورد به جریان عمومی گرداب اولیه^۱ ایجاد می‌کند که اندازه آن با توسعه حفره آبشنستگی افزایش می‌یابد. همچنین یک گرداب ثانویه^۲ با جهت چرخش معکوس با گرداب اولیه وجود دارد که پس از گرداب اولیه تشکیل می‌شود. این گرداب تاثیر بازدارنده‌ای برای ظرفیت آبشنستگی گرداب اولیه دارد. در پایین دست تکیه گاه پل، گرداب‌های برخاستگی،^۳ در اثر جدایی جریان در گوشه‌های تکیه گاه، تشکیل می‌شود. همچنین گرداب موج کمانی^۴ با جهت چرخش مخالف با گرداب اولیه در نزدیک سطح آزاد بالادست تکیه گاه تشکیل می‌شود [1]. شکل (۱) نمونه‌ای از جریان آشفته و گرداب‌هایی را که باعث

۱- مقدمه

وقوع آبشنستگی از مهمترین عوامل تهدید کننده پایداری تکیه گاه‌های پل احداث شده روی رودخانه‌های است. برای جلوگیری از تخریب‌های احتمالی و زیان‌های جبران ناپذیر، لازم است با بررسی دقیق فرآیند آبشنستگی و به کارگیری روش‌های مناسب، آبشنستگی را کنترل کرد. پس از برخورد جریان به دماغه پل، روی تکیه گاه با توجه به این که سرعت جریان از بستر رودخانه به طرف سطح آب بیشتر می‌شود فشار بیشتر نیز در ترازهای بالاتر روی تکیه گاه ایجاد می‌شود و به این ترتیب گرادیان فشاری روی تکیه گاه از بالا به پایین به وجود می‌آید. در اثر گرادیان فشار، جریان آب رو

در زمینه تأثیر تراکم بستر روی عمق آبشنستگی پایه و تکیه‌گاه پل پژوهش‌های اندکی صورت گرفته است. هدف از این پژوهش بررسی تأثیر میزان رس و انرژی تراکم روی عمق حفره آبشنستگی اطراف پایه و تکیه‌گاه پل در مقایسه با بستر غیر چسبنده می‌باشد که در ادامه تعدادی از آن‌ها معرفی می‌شود.

ابوسیدا و همکاران روی آبشنستگی تکیه‌گاه پل در بستر با خاک چسبنده تحقیق نمودند. که مطالعه آزمایشگاهی بستر فلوم با ۲۰ تا ۲۰ درصد رس‌های کائولین مخلوط شده و تکیه‌گاه با دیواره قائم در سه اندازه مختلف استفاده شد. آنها دریافتند که ویژگی‌های حفره آبشنستگی به عواملی مثل درصد رس، حد پلاستیک، درصد تراکم، رطوبت، عدد فرود جریان و شکل تکیه‌گاه بستگی دارد. در نهایت چندین معادله تجربی برای پیش‌بینی عمق آبشنستگی تعادلی، بیشینه عمق آبشنستگی، حجم آبشنستگی و ویژگی‌های هندسی چاله آبشنستگی توسعه داده شد [4].

او و همکاران با استفاده از آنالیز ابعادی و داده‌های آزمایشگاهی رابطه‌ای جهت پیش‌بینی بیشینه عمق آبشنستگی تکیه‌گاه واقع در سیلاندشت و بستر چسبنده توسعه دادند. آنها از دو شکل تکیه‌گاه شیدار و با دیواره بالی شکل در پژوهش‌های خود استفاده نمودند و در مجموع ۱۸ آزمایش انجام دادند. در نهایت رابطه ارائه شده به عواملی مانند شکل تکیه‌گاه و عدد فرود موضعی بستگی دارد [5].

انجمن تحقیقات حمل و نقل در کشور آمریکا در گزارش‌های شماره ۵۱۶ و (۲) ۱۵-۲۴ خود به ترتیب به آبشنستگی پایه و تکیه‌گاه در مصالح چسبنده پرداخته است. هر دوی این گزارش‌ها بر پایه اطلاعات به دست آمده از آزمایش‌های صورت گرفته در فلوم‌های آزمایشگاهی تهیه شده است. همچنین مدل‌های ریاضی توسعه یافته و نتایج آن‌ها با داده‌های آزمایشگاهی مقایسه شده است [6-7].

۲- مواد و روش‌ها

آزمایش‌ها در آزمایشگاه هیدرولیک رسوب دانشکده کشاورزی دانشگاه شیراز که مجهز به یک کanal مئاندری به طول ۴۵ متر با گفتنی به شیب ۰/۰۰۱ و با دیواره فولادی به ارتفاع ۰/۴۵ متر و عرض ۱/۲ متر است انجام شد. در شکل (۲) کanal آزمایشگاهی نشان داده شده است.

با توجه به این که پل‌ها معمولاً در مسیر مستقیم رودخانه

آبشنستگی می‌شوند نشان می‌دهد.

شکل (۱): الگوی جریان در اطراف تکیه‌گاه پل

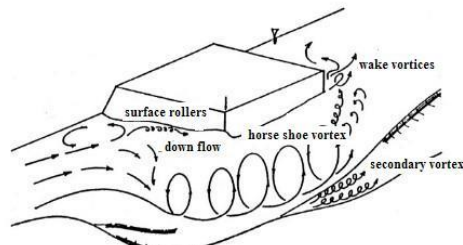


Fig. 1. Flow pattern around bridge abutment

روابط تجربی متعددی برای پیش‌بینی عمق آبشنستگی پایه و تکیه‌گاه وجود دارد که در ادامه به معروف‌ترین آن‌ها می‌شود: اداره مرکزی بزرگراه‌های آمریکا برای تخمین عمق آبشنستگی در اطراف پایه‌های پل رابطه زیر را پیشنهاد کرد:

$$(1) D_s = 2y_1 K_1 K_2 K_3 K_4 \left(\frac{D}{y_1}\right)^{0.65} F_r^{0.43}$$

y_1 عمق آب در بالادست پایه پل و K_1 ضریب شکل پایه (بین ۱/۱-۰/۹)، K_2 ضریب زاویه برخورد جریان با پایه، K_3 ضریبی است که با توجه به کف کanal تعیین می‌شود (معمولًا بین ۱/۱-۱/۳ است) و K_4 ضریب ذرات تشکیل دهنده بستر است، D و F_r به ترتیب عرض پایه و عدد فرود جریان در بالادست پایه و D_s عمق آبشنستگی است [2].

ملویل در سال ۱۹۹۷ یک روش جامع برای تخمین عمق تعادل آبشنستگی در تکیه‌گاه‌های پل ارائه کرد [3]

$$(2) d_{se} = k_i k_{yw} k_d k_s k_\theta k_g$$

k_i : پارامتر شدت جریان آب، k_a : پارامتر اندازه رسوبات بستر، k_s : پارامتر شکل فوندا سیون پل، k_θ : پارامتر زاویه برخورد تکیه‌گاه با جریان آب، k_{yw} : پارامتر عمق جریان-اندازه تکیه‌گاه، k_g : پارامتر هندسه کanal و d_{se} : عمق آبشنستگی تکیه‌گاه پل است.

در روابط فوق و تقریباً کلیه روابطی که برای تخمین آبشنستگی توسعه یافته مصالح رسوبی غیرچسبنده در نظر گرفته شده و نتایج به دست آمده برای مصالح چسبنده نیز به کار برده می‌شود. در نتیجه اعماق پیش‌بینی شده بسیار بیشتر از واقعیت در رسوبات چسبنده خواهد بود که منجر به افزایش هرینه‌ها می‌شود (او و همکاران، ۲۰۱۰).

به این که آبستنگی موضعی در شرایط آب زلال بررسی شد پس به منظور جلوگیری از فرسایش و انتقال رسوبات در بالادست پایه، سرعت متو سط جریان باید کمتر از سرعت بحرانی باشد. در کلیه آزمایش‌ها نسبت سرعت بحرانی به سرعت جریان $0.9/0$ بود. از این رو در این تحقیق از دبی 40 لیتر بر ثانیه استفاده شد. در این دبی عمق جریان در کanal اصلی 15 سانتی‌متر، عمق جریان در سیلابدشت 5 سانتی‌متر، سرعت متو سط جریان 0.313 متر بر ثانیه، عدد فرود جریان 0.31 و عدد رینولدز در حدود 27400 است. بنابراین رژیم جریان متلاطم زیربحارانی است. مدت زمان آزمایش در بستر غیر چسبنده برابر بود با مدت زمانی از انجام آزمایش که پس از آن تغییرات عمق آبستنگی در یک بازه سه ساعته کمتر از یک میلی‌متر باشد [۹]. به همین منظور یک آزمایش طولانی به مدت 24 ساعت روی پایه پل در دبی 40 لیتر بر ثانیه در شرایط عادی (شاهد) انجام شد. با توجه به شکل (۳) مشاهده می‌شود که در هفت ساعت اول بیش از 98 درصد (132 میلی‌متر) آبستنگی رخ می‌دهد. بنابراین در کلیه آزمایش‌ها، زمان تعادل برای بستر غیر چسبنده هفت ساعت در نظر گرفته شد که در این پژوهش D_s عمق آبستنگی و D قطر پایه است. همچنین مدت زمان آزمایش در بستر چسبنده به دلیل محلودیت‌های آزمایشگاهی حداقل 24 ساعت در نظر گرفته شد.

شکل (۳) تغییرات عمق آبستنگی نسبی در برابر زمان در بستر غیر چسبنده

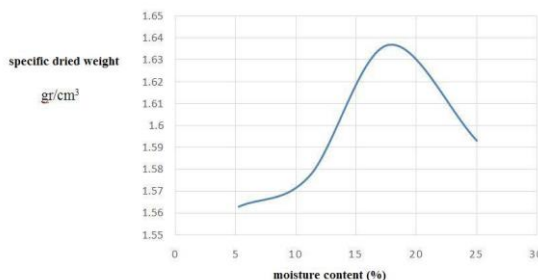


Fig.3. Variation of relative scour depth against time process

برای برداشت تغییرات توپوگرافی در حین آزمایش و در شرایطی که آب در کanal جریان داشت از یک زیری‌سنجد با دقت یک میلی‌متر استفاده شده است. برای برداشت توپوگرافی، اطراف پایه و تکیه‌گاه به فاصله دو سانتی‌متر در دو سانتی‌متر مشبنده شد.

احداث می‌شوند آزمایش‌ها نیز در قسمت مستقیم کanal صورت گرفت. همچنین با در نظر گرفتن این نکته که تکیه‌گاه‌ها بیشتر روی سیلاب داشت رودخانه‌ها قرار می‌گیرند، مقطع آزمایش شده به صورت کanal مرکب درآورده شد. کanal مجهز به یک سیستم الکتریکی قرائت دبی و یک دریچه کشویی مستطیلی برای تنظیم ارتفاع آب است. به منظور انجام آزمایش‌ها کف کanal به وسیله سکوهای فلزی به ارتفاع 20 سانتی‌متر و عرضی برابر با عرض کanal بالا آورده شد. همچنین با توجه به اینکه زیری میادین غرقاب رودخانه عموماً به دلیل وجود پوشش گیاهی بیشتر از مقطع اصلی آن است. قله سنگ‌هایی با قطر متوسط 4 سانتی‌متر به صورت زیگزاگ روی سیلاب داشت چسبانده شد. برای اندازه‌گیری تغییرات بستر از یک ارتفاع سنج لیزری با دقت یک میلی‌متر استفاده شد.

شکل (۲): کanal آزمایشگاهی: (الف) پلان (ب) مقطع

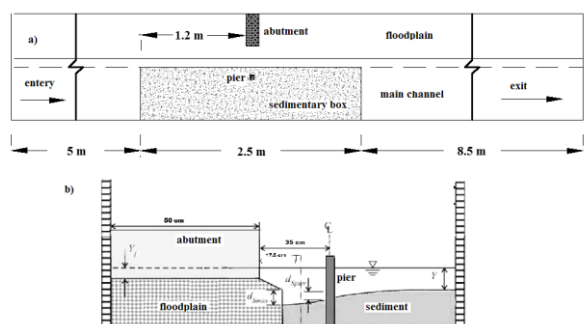


Fig.2. Experimental flume: a) plan b) section

برای جلوگیری از پدیده ریپل قطر متو سط ذرات در بستر غیر چسبنده باید از 0.7 میلی‌متر بزرگ‌تر باشد و نسبت قطر پایه به متوسط ذرات باید بیش از $25-20$ باشد [۸]. با توجه به این که آزمایش‌ها در بستر چسبنده با اضافه کردن رس به رسوبات غیرچسبنده صورت گرفت از یک لایه ماسه با قطر متو سط 0.73 میلی‌متر و ضریب انحراف استاندارد معادل $1/27$ برای انجام آزمایش‌ها استفاده شد. رس استفاده شده از نوع رس بتونیتی با حد روانی 159 ، حد خمیری $49/2$ ، شاخص خمیری $10.9/8$ که براساس سیستم طبقه‌بندی متحدد CH است.

برای این که عمق آب روی عمق آبستنگی اثری نداشته باشد نسبت قطر پایه به عمق آب باید کوچک‌تر از 0.7 باشد [۸]. از این رو عمق آب ثابت و برابر با 15 سانتی‌متر در نظر گرفته شد. با توجه

استوانه‌ای، مربعی گرد گوش و مربعی نوک تیز استفاده شد. همچنین در کلیه آزمایش‌ها، پایه‌ها در دو فاصله ۳۵ سانتی‌متر (نصف عرض مقطع اصلی کanal) و ۱۷/۵ سانتی‌متر (۱/۴ عرض مقطع اصلی کanal) نسبت به سیالاب دشت قرار داده شد تا اثر تکیه‌گاه لحاظ شود. در شکل (۲) نمای شماتیک از چگونگی قرارگیری پایه و تکیه‌گاه در نزدیکی هم آورده شده است.

۳- بحث و نتایج

الف) تراکم خاک غیرچسبنده:

به منظور بررسی تاثیر تراکم روی عمق حفره آبشنستگی اطراف پایه، رسوبات غیرچسبنده با انرژی‌های تراکم ۷۰٪، ۸۰٪ و ۹۰٪ متراکم شد. پس از انجام آزمایش و برداشت توپوگرافی اطراف پایه و در بستر رسوبی، مشاهده شد که تراکم تاثیر قابل توجهی روی کاهش عمق حفره آبشنستگی در بستر غیرچسبنده نخواهد داشت.

ب) رسوبات بستر دارای ۵٪ رس و ۱۰۰٪ تراکم در این حالت رسوبات غیرچسبنده ابتدا با ۵٪ رس مخلوط و سپس با انرژی تراکم ۱۰۰٪ متراکم شد. پس از انجام آزمایش برای این حالت نیز مشاهده شد که تراکم تاثیر قابل توجهی روی کاهش عمق حفره آبشنستگی اطراف پایه در شرایط غیر اشباع بستر ایجاد نمی‌کند.

پ) رسوبات بستر دارای ۱۰٪ رس و ۱۰۰٪ تراکم

پس از مخلوط کردن رسوبات غیرچسبنده با ۱۰٪ رس، مخلوط رس و ماسه با انرژی تراکم ۱۰۰٪ در سه لایه مساوی متراکم شد. برای این حالت بعد از گذشت ۲۴ ساعت از شروع آزمایش در شرایط غیر اشباع بستر، هیچ گونه آبشنستگی در اطراف پایه پل ایجاد نشد.

ت) رسوبات بستر دارای ۱۰٪ رس و ۷۰٪ تراکم

به منظور بررسی تاثیر انرژی تراکم روی عمق حفره آبشنستگی اطراف پایه پل، انرژی تراکم از ۱۰۰٪ به ۷۰٪ کاهش یافت. در شکل‌های (۵) تا (۱۳) نمودارهای مربوط به عمق حفره آبشنستگی در اطراف طول‌های مختلف تکیه‌گاه و اشکال مختلف پایه در دو فاصله ۱۷/۵ و ۳۵ سانتی‌متر نسبت به سیالاب دشت برای این حالت در مقایسه با بستر غیرچسبنده آورده شده است. با توجه به این نمودارها مشاهده می‌شود که اضافه کردن ۱۰٪ رس به بستر غیرچسبنده در

پیش از راهاندازی پمپ، دریچه انتهایی بسته و سپس آب زلال به آرامی به درون کanal هدایت شد تا از ایجاد ریپل و ناهمواری در سطح بستر جلوگیری شود. پس از بالا آمدن آب و اطمینان از مرطوب شدن رسوبات بعد از گذشت چند دقیقه، پمپ با دبی کمی راهاندازی و به آرامی به دبی مورد نظر رسانده و سپس با تنظیم دریچه پایین دست عمق جریان ۱۵ سانتی‌متری حاصل شد. پس از هر آزمایش، پمپ خاموش و دریچه انتهایی بسته شد تا آب موجود در کanal به آرامی زهکشی، و تاثیری روی توپوگرافی بستر ایجاد نشود. پس از گذشت چند ساعت و تخلیه کامل آب درون کanal، تغییرات بستر به وسیله متر لیزری اندازه‌گیری شد.

به منظور مtraکم کردن خاک بستر ابتدا درصد مشخصی رس به خاک غیرچسبنده اضافه و با میزان رطوبت معین مخلوط و به مدت ۲۴ ساعت درون یک محفظه پلاستیکی قرار می‌گرفت تا رطوبت در نقاط مختلف آن یکسان شود. سپس با توجه به تراکم مورد نیاز مخلوط رس و ماسه وزن شده و در سه لایه مساوی به وسیله چکش، مtraکم شد. برای اندازه‌گیری میزان تراکم در هر لایه، از ظروف کوچک فلزی استفاده شد که پس از انجام آزمایش این ظروف به داخل آون منتقل شده و پس از خشک شدن و وزن کردن آن‌ها تراکم بستر در هر لایه بدست آمد. در شکل (۴) نمایی از چکش تراکم و ظرف فلزی استفاده شده برای نمونه‌گیری نشان داده شده است.

شکل (۴) چکش تراکم و ظرف نمونه گیری



Fig.4. Compaction hammer and sampling can

برای بررسی تاثیر تکیه‌گاه روی آبشنستگی پایه، از طول سه اندازه تکیه‌گاه قائم به طول‌های ۵۰ سانتی‌متر (برابر با طول سیالاب دشت)، ۳۷/۵ سانتی‌متر (۳/۴ طول سیالاب دشت) و ۲۵ سانتی‌متر (نصف طول سیالاب دشت) استفاده شد. همچنین برای تعیین اثر شکل پایه بر آبشنستگی، از سه پایه ۵ سانتی‌متری شامل پایه‌های

از نتایج این تحقیق آورده شده است.

۱- تراکم بستر غیر چسبنده تاثیری روی کاهش آبشنستگی در اطراف پایه ندارد.

۲- افزودن ۵ درصد رس به بستر غیر چسبنده در شرایط تراکم استاندارد و رطوبت بهینه تاثیری در میزان کاهش آبشنستگی پایه پل ندارد. این در حالی است که برای بستر اشباع در شرایط مشابه آبشنستگی حدود ۵۰٪ کاهش می‌یابد.

۳- افزودن ۱۰ درصد رس به بستر غیر چسبنده در شرایط تراکم استاندارد و رطوبت بهینه بعد از گذشت ۲۴ ساعت از شروع آزمایش برای حالت‌های مختلف پایه و تکیه‌گاه، آبشنستگی را به میزان ۱۰۰ درصد کاهش می‌دهد.

۴- زمان پارامتر بسیار مهمی روی آبشنستگی پایه پل در خاک چسبنده است. این در حالی است که در بستر غیر چسبنده پس از گذشت چند ساعت از شروع آزمایش مکریم عمق آبشنستگی حاصل می‌شود.

۵- اشباع بودن بستر چسبنده روی آبشنستگی پایه پل تاثیرگذار است به گونه‌ای که در شرایط اشباع برای حالت‌های مختلف پایه و تکیه‌گاه آبشنستگی به میزان قابل توجهی کاهش می‌یابد.

۶- برای حالت‌های مختلف پایه و تکیه‌گاه با افزایش تراکم بستر عمق آبشنستگی پایه پل کاهش می‌یابد.

شکل (۵) نمودار عمق آبشنستگی تکیه‌گاه بزرگ برای بستر دارای ۱۰٪ رس و ۷۰٪ تراکم

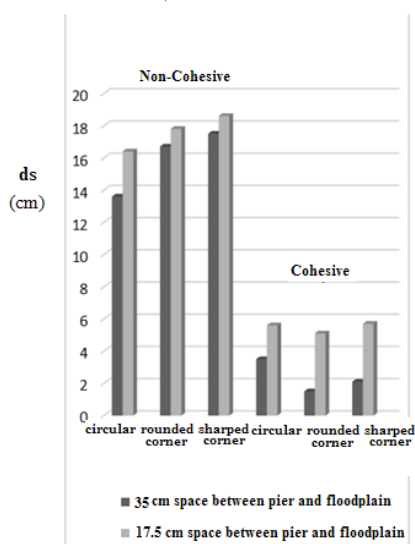


Fig. 5: Scour depth at the long abutment with 10% clay content and 70% compaction

شرایط غیر اشباع، حتی با انرژی تراکم ۷۰٪ نیز بعد از گذشت ۲۴ ساعت از شروع آزمایش، عمق آبشنستگی را بیش از ۵۰٪ کاهش می‌دهد.

ث) رسوبات بستر دارای ۱۵٪ رس و ۷۰٪ تراکم برای این حالت ۲۴ ساعت بعد از شروع آزمایش هیچ گونه آبشنستگی در اطراف پایه و تکیه‌گاه پل ایجاد نشد.

ح) تاثیر زمان روی عمق حفره آبشنستگی فونداسیون پل در بستر چسبنده

اشکال (۱۳ و ۱۴) نمودارهای مربوط به عمق آبشنستگی تکیه‌گاه متوسط و اشکال مختلف پایه در نزدیکی این تکیه‌گاه بعد از گذشت ۷ و ۱۴ ساعت از شروع آزمایش برای بستر دارای ۱۰٪ و ۷۰٪ تراکم را نشان می‌دهد. با توجه به این نمودارها مشاهده می‌شود با دو برابر کردن زمان آزمایش از ۷ به ۱۴ ساعت، عمق آبشنستگی بستر چسبنده به طور قابل توجهی افزایش یافته است در حالی که برای بستر غیر چسبنده دو برابر کردن زمان آزمایش تاثیر قابل توجهی روی عمق آبشنستگی ایجاد نکرده است.

خ) تاثیر اشباع بودن بستر چسبنده روی عمق حفره آبشنستگی همان گونه که قبلاً اشاره شد اضافه کردن ۵٪ رس به بستر غیر چسبنده و کوپیدن آن با انرژی تراکم ۱۰۰٪ در شرایط غیر اشباع بستر، بعد از گذشت ۲۴ ساعت از شروع آزمایش، تاثیر قابل توجهی روی کاهش عمق حفره آبشنستگی اطراف پایه و تکیه‌گاه پل ایجاد نمی‌کند. این در حالی است که در شرایط اشباع بستر همین میزان رس و انرژی تراکم بعد از گذشت ۲۴ ساعت از شروع آزمایش، با توجه به شکل (۱۳) عمق آبشنستگی را در حدود ۵۰٪ نسبت به شرایط غیر اشباع بستر کاهش داده است. همچنین برای ۱۰٪ رس و ۷۰٪ تراکم پس از گذشت ۲۴ ساعت از شروع آزمایش، برای شرایط اشباع بستر هیچ گونه آبشنستگی در اطراف پایه پل ایجاد نشد.

۴- جمع‌بندی و نتیجه‌گیری

مطالعه حاضر به بررسی تاثیر درصد رس و همچنین انرژی تراکم روی عمق آبشنستگی اطراف پایه و تکیه‌گاه پل می‌پردازد. در این راستا ابتدا عمق آبشنستگی اطراف پایه پل در بستر غیر چسبنده اندازه‌گیری شد. سپس ۵٪ و ۱۰٪ و ۱۵٪ رس به بستر غیر چسبنده اضافه و با انرژی‌های تراکم ۱۰۰٪ و ۷۰٪ مترکم شد. در ادامه برخی

شکل (۸) نمودار عمق آبشارتگی اشکال مختلف پایه در مجاورت تکیه‌گاه متوسط برای بستر دارای ۱۰٪ رس و ۷۰٪ تراکم

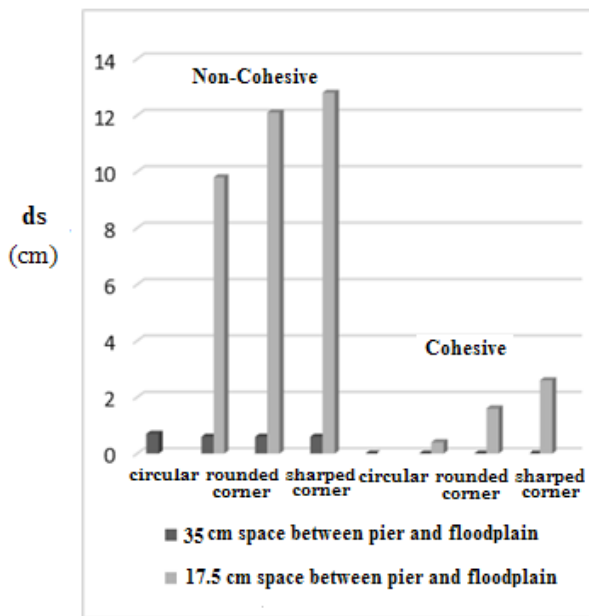


Fig. 8. Scour depth of different pier shapes in vicinity of the medium abutment with 10% clay content and 70% compaction

شکل (۹) نمودار عمق آبشارتگی تکیه‌گاه کوچک برای بستر دارای ۱۰٪ رس و ۷۰٪ تراکم

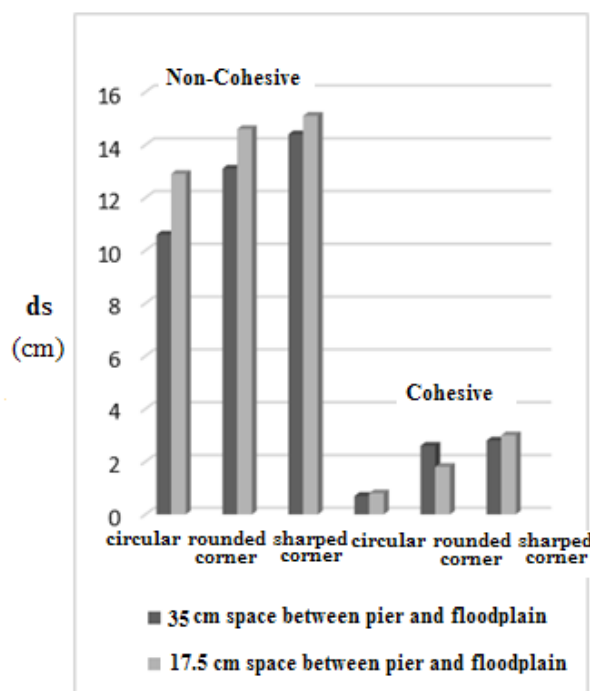


Fig. 9. Scour depth of the short abutment with 10% clay content and 70% compaction

شکل (۶) نمودار عمق آبشارتگی اشکال مختلف پایه در مجاورت تکیه‌گاه بزرگ برای بستر دارای ۱۰٪ رس و ۷۰٪ تراکم

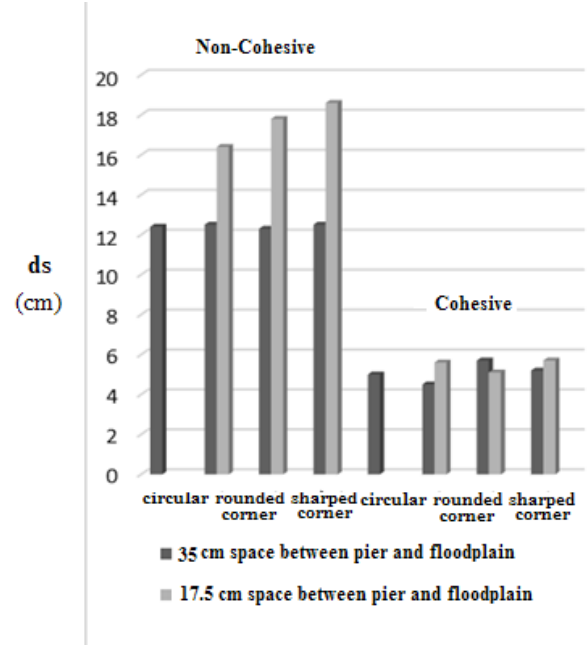


Fig. 6. Scour depth of different pier shapes in vicinity of the long abutment with 10% clay content and 70% compaction

شکل (۷) نمودار عمق آبشارتگی تکیه‌گاه متوسط برای بستر دارای ۱۰٪ رس و ۷۰٪ تراکم

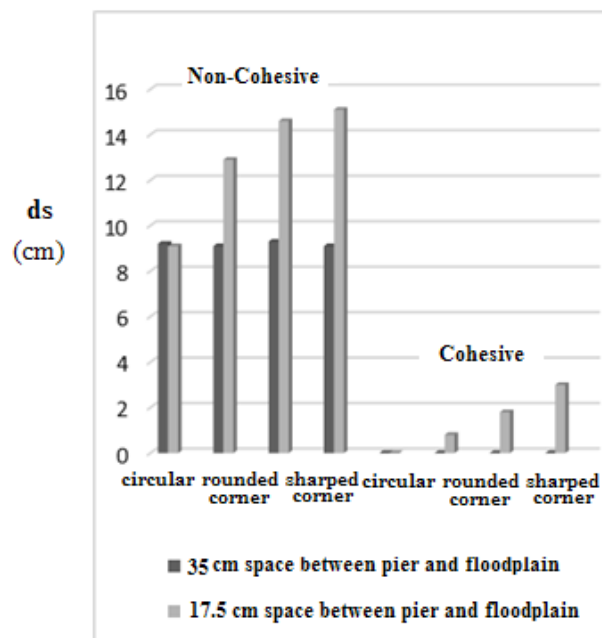


Fig. 7. Scour at medium abutment with 10% clay content and 70% compaction

شکل (۱۲): تاثیر زمان آزمایش بر روی عمق آبیستگی اشکال مختلف پایه در مجاورت تکیه گاه کوچک برای بستر دارای ۱۰٪ رس و ۷۰٪ تراکم

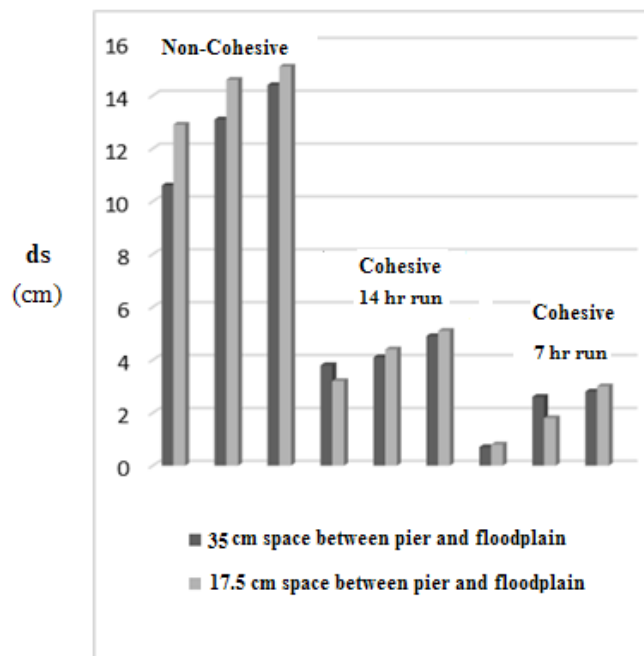


Fig. 12. Effect of time process on scour depth at different pier shapes in vicinity of medium length abutment with 10% clay content and 70% compaction

شکل (۱۳): تاثیر اشباع بودن بستر دارای ۵٪ رس و ۱۰۰٪ تراکم بر روی کاهش عمق آبیستگی اشکال مختلف پایه در مجاورت تکیه گاه متوسط

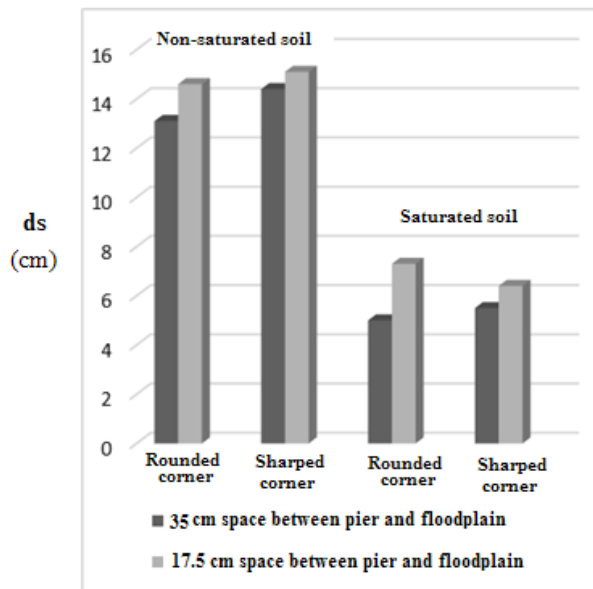


Fig. 13. Effect of bed material saturation with 5% clay content and 100% compaction ratio on scour mitigation of different pier shapes in vicinity of the medium abutment

شکل (۱۰): نمودار عمق آبیستگی اشکال مختلف پایه در مجاورت تکیه گاه کوچک برای بستر دارای ۱۰٪ رس و ۷۰٪ تراکم

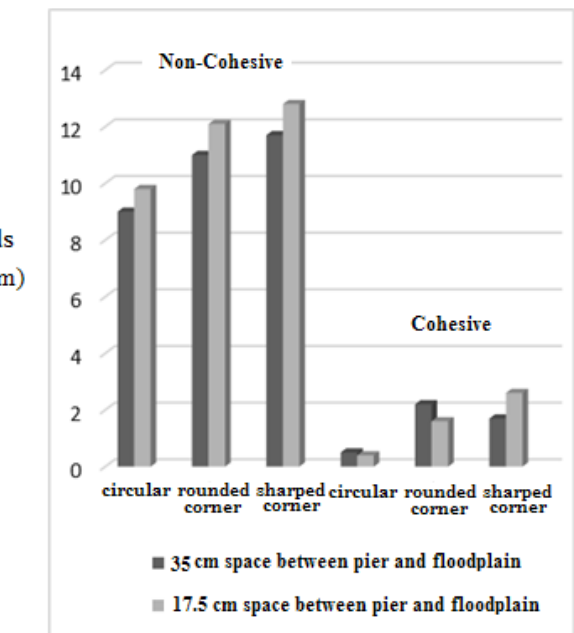


Fig. 10. Scour depth of different pier shapes in vicinity of the short abutment with 10% clay content and 70% compaction

شکل (۱۱): تاثیر زمان آزمایش بر روی عمق آبیستگی تکیه گاه متوسط برای بستر دارای ۱۰٪ رس و ۷۰٪ تراکم

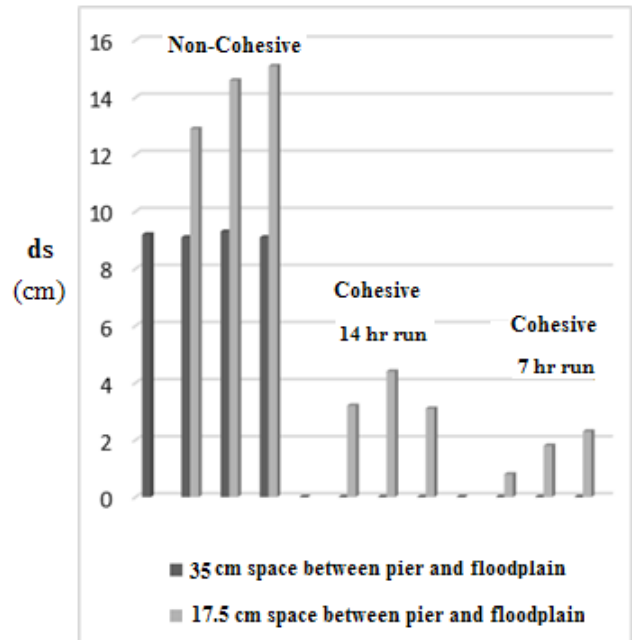


Fig. 11. Effect of time process on scour depth at medium length abutment with 10% clay content and 70% compaction

۵- مراجع

- [1] Dey; S.; and Barbhuiya; A.K; "Clear-water scour at abutments in thinly armored beds"; J. Hydraul. Eng., ASCE; Vol.130, No.2, (2004). PP: 622-634.
- [2] Raikar; V.R.; and Dey; S.; "Maximum scour depth at pier in armor beds"; KSCE Journal of Civil Engineering; Vol.13, No.2, (2009). PP: 137-14.
- [3] Melville; B.W.; "Pier and abutment scour –an integrated approach"; JHE, ASCE; Vol.123, No.2, (1997). PP: 125-136.
- [4] Abu-seida; M. M., Elsaed; G. H., Mostafa; T.M., Elzahry; E.F., 2012. Local Scour at Bridge Abutments in Cohesive Soil. Journal of Hydraulic Research, Vol. 50, Issue 2:171-180.
- [5] Oh; S.J, Briaud; J.L., Chang; K.A., Chen; H.; "Maximum asbutment scour depth in cohesive soils" International Conference on Scour and Erosion, 2010.
- [6] Transportation Research Board, NationalResearch Concil, NCHRP Project 24-15, Abutment scour in cohesive materials, USA., 435 pp.
- [7] Transportation Research Board, NationalResearch Concil, NCHRP Project 24-15, Pier and contraction scour in cohesive soil, USA., 136 pp.
- [8] Raudkivi; A.J.; and Ettema; R.; "Clear water scour at cylindrical piers"; Journal of Hydraulic Engineering, ASCE; Vol.109, No.3, (1983). PP: 338-349
- [9] Kumar; V.; Rang Raju; K.G.; and Vittal; N.; "Redaction of local scour around bridge pier using slots and collar"; Journal of Hydraulic Engineering, ASCE; Vol.125, No.2, (1999). PP: 132-135.

Effect of Clay Content Percentage and Compaction Energy on Pier Bridge Scour in Erosive Bed and in the vicinity of abutment

S.M.A. Zomorodian^{1*}, M. Arab² and M. Zolghadr³

1- Associate Professor, Department of Water Engineering, Shiraz University.

2- Post Graduate Student Hydraulic Structure, Water Engineering Department, Shiraz University.

3-Assisstant Professor, Department of Water Engineering, Jahrom University, PO BOX 74135-111, Jahrom, IRAN.

***mzomorod@shirazu.ac.ir**

Abstract:

The most dominant concern about the stability of bridges is the occurrence of local scour around piers and abutments. The local scour around bridge foundations has been widely studied by different researchers in recent years. Different methods have been proposed to control the scour depth and occurrence of scouring around bridge piers and abutments. Construction of bridge foundations in elevations deeper than predicted values is a usual method, in which, proper estimation of scour depth is very crucial. There are other available methods to countermeasure the scour, among which: installation of an armour layer around bridge piers and abutments. In this method heavy particles of stone or concrete blocks are placed around the bridge foundations, enhancing resistance of the bed to erosion and scour. Deviation of the flow from the bridge foundation is another way which usually transfers the scour to the midway channel at downstream of the structure. Installation of collars and spur dikes are the examples of this approach. An innovative method to mitigate scour around hydraulic structures is “soil compaction”. Compaction increases the relative density and soil resistance which mitigates scour and produce a time delay in scour hole development procedure. Effects of clay content percentage and compaction ratio on scour reduction around bridge piers are investigated in this paper. Experimental programs are conducted in a flume with 45 m length, 1.2 m width, 0.45 m depth and with a bed slope of 0.001. Uniform sand with median size of 0.73 mm and standard deviation of 1.27 is selected as non-cohesive material. The clay content liquid limit (LL) is 15.9, plastic limit (PL) is 49.2 and plasticity index (PI) is 10.9, which categorize the clay content as CH according to Unified Classification Standard. The experiments are performed in clear water conditions ($v_c/v=0.9$) with a constant depth of 15 cm and a flow rate equal to 40 L/s (with a subcritical Froud Number of 0.31 and mean velocity of 0.31 m/s). In order to investigate the effect of clay content percentage and compaction energy on local scour, 5%, 10%, and 15% of clay were added to the soil. Thereafter, the specimens were compacted by different ratios. According to the experimental results, compaction leaves no effect on non-cohesive soil scouring rate and magnitude. However if the clay content percentage rises up to 10% -while the compaction ratio is 100%- the scour is completely eliminated. In order to assess the effect of compaction ratio on scour mitigation, the same mixture (with 10% clay content) was compacted to 70% of ultimate compaction energy. The results showed a 50% decrease in scour depth which is comparable to the previous case in the same compaction rate (70%). The percentage of the clay content was raised to 15% for another test. The results showed that the scour was completely captured. In a specimen with 15% clay content mixed with non-cohesive sediment materials -in saturated bed conditions- and with a relative density of 70%, the scour process around the bridge pier was completely controlled after 24 hours. The results prove that adding cohesive materials can postpone the local scour process significantly.

Keywords: Scour, Bridge Pier, Compaction, Scour countermeasure